

Отчёт по практическому заданию (3) в рамках курса  
«Суперкомпьютерное моделирование и технологии»

Вариант 1

Никифоров Никита Игоревич, гр. 621

[nickiforov.nik@gmail.com](mailto:nickiforov.nik@gmail.com)

Октябрь 2022

# 1 Задача

Необходимо реализовать численный метод аппроксимации для трёхмерного гиперболического уравнения в области, представляющей из себя прямоугольный параллелепипед. Для реализации метода предлагается использовать языки программирования C/C++, с использованием библиотеки параллельного вычисления MPI и OpenMP.

Необходимо провести исследование реализованного численного метода для заданного интеграла, области и точности на параллельных вычислительных системах ВМК МГУ: IBM Polus

## 2 Математическая постановка задачи

В трёхмерной замкнутой области

$$\Omega = [0 \leq x \leq L_x] \times [0 \leq y \leq L_y] \times [0 \leq z \leq L_z]$$

Для  $(0 < t \leq T]$  найти решение  $u(x, y, z, t)$  уравнения в частных производных

$$\frac{\partial^2 u}{\partial t^2} = \Delta u \quad (1)$$

С начальными условиями

$$u|_{t=0} = \varphi(x, y, z) \quad (2)$$

$$\left. \frac{\partial u}{\partial t} \right|_{t=0} = 0 \quad (3)$$

Граничные условия (вариант 1):

$$u(0, y, z, t) = 0 \quad u(L_x, y, z, t) = 0 \quad (4)$$

$$u(x, 0, z, t) = 0 \quad u(x, L_y, z, t) = 0 \quad (5)$$

$$u(x, y, 0, t) = 0 \quad u(x, y, L_z, t) = 0 \quad (6)$$

Аналитическое решение:

$$u_{analytical}(x, y, z, t) = \sin\left(\frac{\pi}{L_x}x\right) \cdot \sin\left(\frac{2\pi}{L_y}y\right) \cdot \sin\left(\frac{3\pi}{L_z}z\right) \cdot \cos(a_y \cdot t), \quad (7)$$

$$a_t = \sqrt{\frac{1}{L_x^2} + \frac{4}{L_y^2} + \frac{9}{L_z^2}} \quad (8)$$

## Численный метод решения задачи

Для решения введём на  $\Omega$  сетку  $\omega_{h\tau} = \bar{\omega}_h \times \omega_\tau$

$$\bar{\omega}_h = \{(x_i = ih_x, y_i = jh_y, z_k = kh_z), i, j, k = 0, \dots, N, h_x N = L_x, h_y N = L_y, h_z N = L_z\}$$

$$\omega_\tau = \{t_n = n\tau, n = 0, 1, \dots, K, \tau K = T\}$$

Для аппроксимации уравнения воспользуемся равенством:

$$\frac{u_{ijk}^{n+1} - 2u_{ijk}^n + u_{ijk}^{n-1}}{\tau^2} = \Delta_h u^n \quad (9)$$

$$\Delta_h u^n = \frac{u_{i-1,j,k}^n - 2u_{i,j,k}^n + u_{i+1,j,k}^n}{h^2} + \frac{u_{i,j-1,k}^n - 2u_{i,j,k}^n + u_{i,j+1,k}^n}{h^2} + \quad (10)$$

$$+ \frac{u_{i,j,k-1}^n - 2u_{i,j,k}^n + u_{i,j,k+1}^n}{h^2} \quad (11)$$

(Если  $L_x = L_y = L_z$ , то  $h_x = h_y = h_z = h$ ).

Для начала счёта находим  $u^0$ . Из условия (2) получаем:

$$u_{ijk}^0 = \varphi(x_i, y_j, z_k), \quad (x_i, y_j, z_k) \in \omega_h. \quad (12)$$

Следующий шаг:

$$\frac{u_{ijk}^1 - u_{ijk}^0}{\tau} = \frac{\tau}{2} \Delta_h \varphi(x_i, y_j, z_k) \quad (x_i, y_j, z_k) \in \omega_h \quad (13)$$

$$u_{ijk}^1 = u_{ijk}^0 + \frac{\tau^2}{2} \Delta_h \varphi(x_i, y_j, z_k) \quad (14)$$

### 3 Аналитическое решение задачи

$$\varphi(x, y, z, t) = \sin\left(\frac{\pi * x}{L_x}\right) \sin\left(\frac{\pi * y}{L_y}\right) \sin\left(\frac{\pi * z}{L_z}\right) \cos(a_t * t) \quad (15)$$

## 4 Программная реализация

### 4.1 MPI

Для программной реализации предложенного метода используется язык C++, а также библиотека параллельного программирования MPI и OpenMP.

Для эффективной программной реализации предложенного численного метода предлагается разбить вычисления на трёхмерную сетку, каждый блок из которых вычисляется на своём MPI процессе. Для создания топологии процессов используются функции библиотеки MPI:

- **MPI\_Dims\_create** — для автоматического получения размерностей сетки процессов,
- **MPI\_Cart\_create** — для создания сетки процессов MPI.

В качестве аргументов функция **MPI\_Dims\_create** принимает количество процессов MPI, а возвращает сбалансированную размерность сетки процессов.

В качестве аргументов функция **MPI\_Cart\_create** принимает размерность стеки, периодичность граней, а также необходимость размещать близкие по сетке на близких физических ядрах.

В каждом MPI процессе выполняется следующий алгоритм:

1. Вычислить в блоке значения в точках сетки по формулам (8) и (9).
2. Вычислить ошибку аппроксимации как  $\max_{i,j,k} (|u_{xyz}^n - analytical\_solution(x, y, z, t)|)$ .
3. Скопировать грани вычисленного блока в непрерывные буферы.
4. Провести обмены с соседними блоками непрерывными буферами.

```

1 void calc_next() {
2     for (int i = start[0]; i < bsize[0] - end[0]; i++) {
3         for (int j = start[1]; j < bsize[1] - end[1]; j++) {
4             for (int k = start[2]; k < bsize[2] - end[2]; k++) {
5                 double lap = func_lap(i, j, k, *data[1]);
6                 (*data[2])(i, j, k) = tau*tau*lap + 2 * (*data[1])(i, j, k) -
7                     (*data[0])(i, j, k);

```

```

8         }
9     }
10 }
11 }

```

Из особенностей реализации можно указать необходимость отслеживать глобальные координаты в каждом блоке, так как внутри блока адресация идёт в относительных координатах, поэтому при вызове аналитической функции идёт смещение относительных координат, для получения глобальных координат в сетке.

## 4.2 OpenMP

Для использования библиотеки OpenMP перед каждым циклом прописывается директива `#pragma omp parallel for collapse(N) num_threads(THREADS)`, где:

- `#pragma omp parallel for` — основная часть директивы, которая говорит компилятору, где находится цикл, вычисление которого необходимо исполнить на нескольких потоках.
- `collapse(N)` — указывает вложенность циклов, где `N`, уровень вложенности цикла.
- `num_threads(THREADS)` — указывает количество потоков, которое необходимо использовать. Здесь `THREADS = 4`.

При подсчёте ошибки используется дополнительно директива редукции `reduction(max:error)`

## 5 Исследование программной реализации

Для исследования использовалась система Polus и домашний компьютер. Характеристики узла системы параллельного вычисления Polus (на данный момент имеет в работе 3 узла):

- 2 десятиядерных процессора IBM POWER8 (каждое ядро имеет 8 потоков) всего 160 потоков
- Общая оперативная память 256 Гбайт (в узле 5 оперативная память 1024 Гбайт) с ECC контролем
- 2 x 1 ТБ 2.5" 7K RPM SATA HDD
- 2 x NVIDIA Tesla P100 GPU, 16Gb, NVLink
- 1 порт 100 ГБ/сек

Необходимо провести экспериментальное исследование для  $L_x = L_y = L_z = 1$  и  $L_x = L_y = L_z = \pi$ . И для разного количества процессов для MPI версии:  $cpus = 1, 4, 8, 16, 32$ , для OpenMP+MPI:  $cpus = 1, 2, 4, 8$ . И для различного числа точек в сетке  $128^3, 256^3, 512^3$ .

Ускорение считалось как отношение общего времени выполнения на одном MPI-процессе ко времени вычисления на заданном количестве MPI-процессов. Составим таблицу для системы Polus:

Таблица 1: Результаты исследования на машине Polus  $L_x = L_y = L_z = 1$

Размер сетки	число MPI процессов	Время работы (с)	Ускорение по времени	Ошибка
128 * 128 * 128	1	2.356270	1	3.32669e-09
128 * 128 * 128	4	0.630888	3.73	3.32669e-09
128 * 128 * 128	8	0.457156	5.15	3.32669e-09
128 * 128 * 128	16	0.402237	5.85	3.32669e-09
128 * 128 * 128	32	0.194718	12.10	3.32669e-09
256 * 256 * 256	1	18.57330	1	8.24106e-10
256 * 256 * 256	4	4.704710	3.94	8.24106e-10
256 * 256 * 256	8	2.840980	6.53	8.24106e-10
256 * 256 * 256	16	1.571960	11.81	8.24106e-10
256 * 256 * 256	32	0.890774	20.85	8.24106e-10
512 * 512 * 512	1	150.018	1	2.04022e-10
512 * 512 * 512	4	37.8112	3.96	2.04022e-10
512 * 512 * 512	8	20.2954	7.39	2.04022e-10
512 * 512 * 512	16	10.7692	13.93	2.04022e-10
512 * 512 * 512	32	5.54698	27.04	2.04022e-10

Таблица 2: Результаты исследования на машине Polus  $L_x = L_y = L_z = \pi$

Размер сетки	число MPI процессов	Время работы (с)	Ускорение по времени	Ошибка
128 * 128 * 128	1	2.097480	1	0.00423684
128 * 128 * 128	4	0.529625	3.96	0.00423684
128 * 128 * 128	8	0.319248	6.57	0.00423684
128 * 128 * 128	16	0.325514	6.44	0.00423684
128 * 128 * 128	32	0.259678	8.07	0.00423684
256 * 256 * 256	1	16.13620	1	0.0170563
256 * 256 * 256	4	4.044850	3.98	0.0170563
256 * 256 * 256	8	2.386630	6.76	0.0170563
256 * 256 * 256	16	1.240480	13.00	0.0170563
256 * 256 * 256	32	0.715582	22.54	0.0170563
512 * 512 * 512	1	130.179	1	0.0667194
512 * 512 * 512	4	32.7986	3.96	0.0667194
512 * 512 * 512	8	16.7369	7.77	0.0667194
512 * 512 * 512	16	8.91785	14.59	0.0667194
512 * 512 * 512	32	4.58811	28.37	0.0667194

Таблица 3: Результаты исследования на домашнем ПК  $L_x = L_y = L_z = 1$ 

Размер сетки	число MPI процессов	Время работы (с)	Ускорение по времени	Ошибка
128 * 128 * 128	1	1.7638	1	3.32669e-09
128 * 128 * 128	2	0.284199	6.20	3.32669e-09
128 * 128 * 128	4	0.16448	10.72	3.32669e-09
128 * 128 * 128	8	0.099784	17.67	3.32669e-09
256 * 256 * 256	1	11.6942	1	8.24106e-10
256 * 256 * 256	2	2.20329	5.30	8.24106e-10
256 * 256 * 256	4	1.12874	10.36	8.24106e-10
256 * 256 * 256	8	0.59743	19.57	8.24106e-10
512 * 512 * 512	1	40.15	1	2.04022e-10
512 * 512 * 512	2	17.6784	2.27	2.04022e-10
512 * 512 * 512	4	9.06548	4.42	2.04022e-10
512 * 512 * 512	8	4.69384	8.55	2.04022e-10

Таблица 4: Результаты исследования на машине Polus  $L_x = L_y = L_z = \pi$ 

Размер сетки	число MPI процессов	Время работы (с)	Ускорение по времени	Ошибка
128 * 128 * 128	1	1.85292	1	0.00423684
128 * 128 * 128	2	0.280265	6.61	0.00423684
128 * 128 * 128	4	0.159591	11.61	0.00423684
128 * 128 * 128	8	0.095655	19.37	0.00423684
256 * 256 * 256	1	10.8742	1	0.0170563
256 * 256 * 256	2	2.15846	5.03	0.0170563
256 * 256 * 256	4	1.09877	9.89	0.0170563
256 * 256 * 256	8	0.58233	18.67	0.0170563
512 * 512 * 512	1	33.6420	1	0.0667194
512 * 512 * 512	2	17.3213	1.94	0.0667194
512 * 512 * 512	4	8.68217	3.87	0.0667194
512 * 512 * 512	8	4.40099	7.64	0.0667194

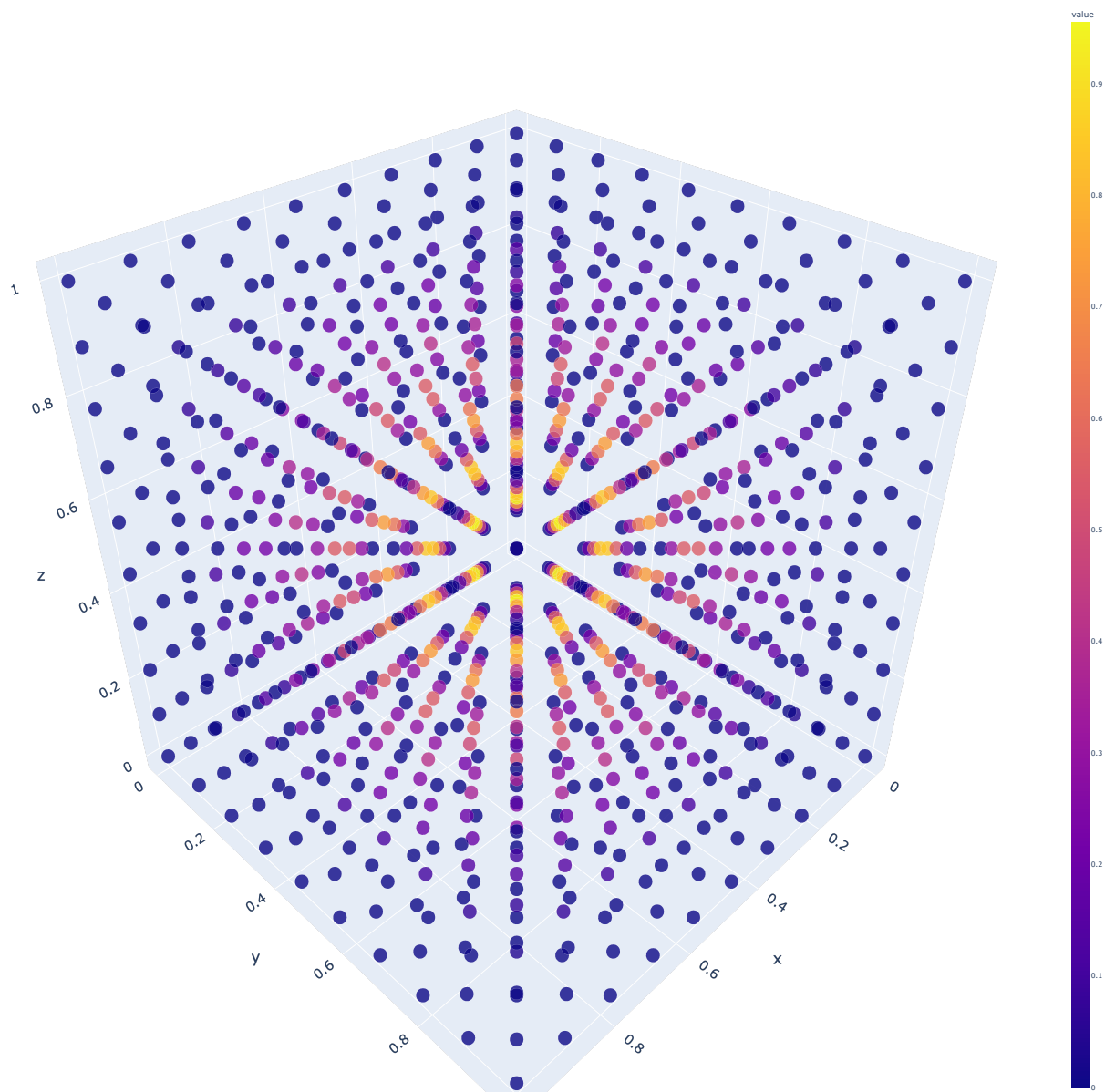


Рис. 1: График аналитического решения  $time = 0$ ,  $L_x = L_y = L_z = 1$ , сетка  $10^3$ .



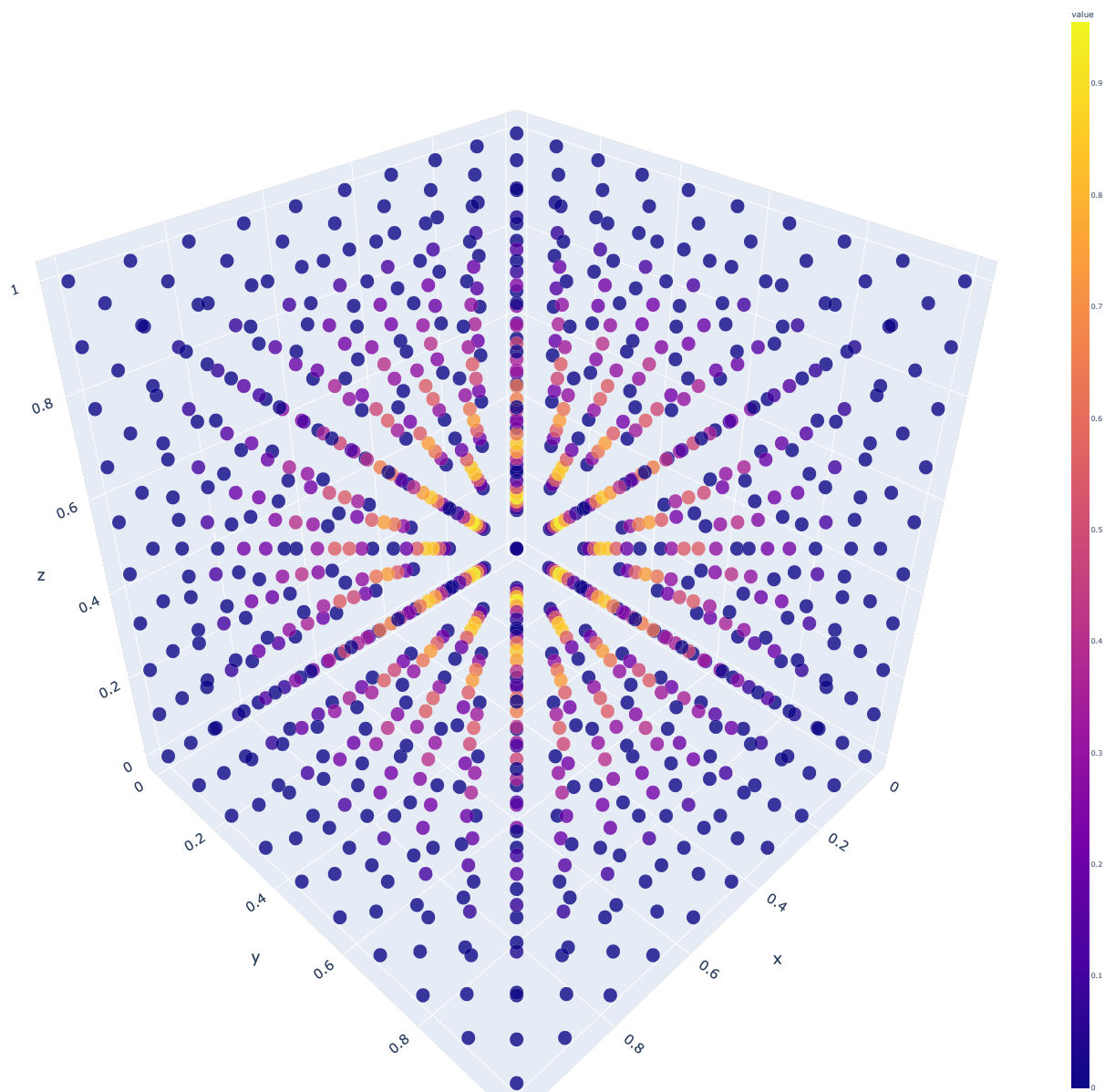


Рис. 2: График посчитанного решения  $time = 21$ ,  $L_x = L_y = L_z = 1$ , сетка  $10^3$ .

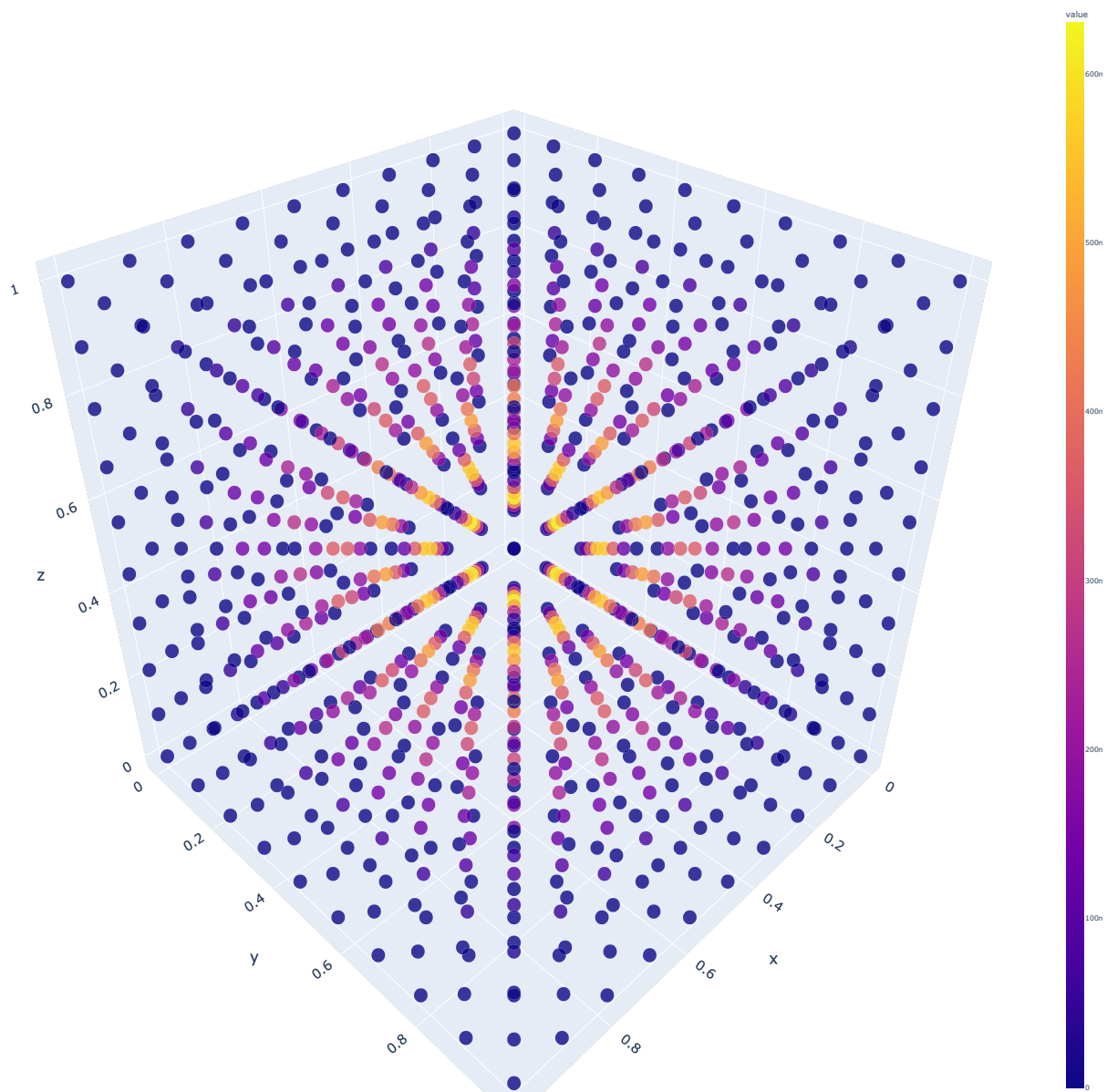
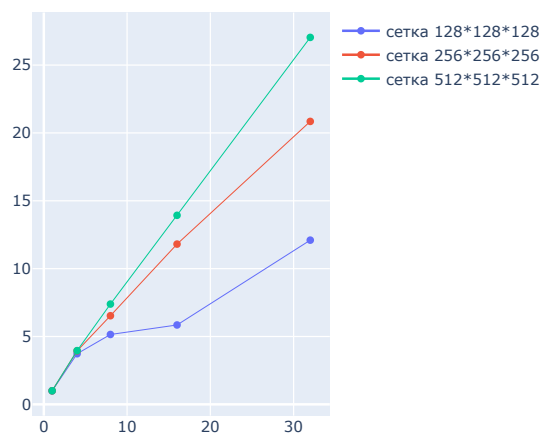
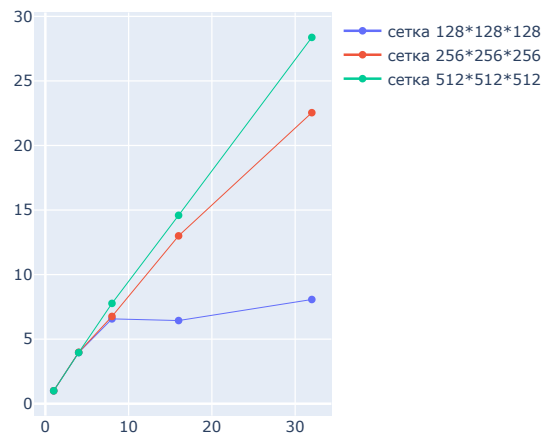


Рис. 3: График погрешности решения  $time = 21$ ,  $L_x = L_y = L_z = 1$ , сетка  $10^3$ .

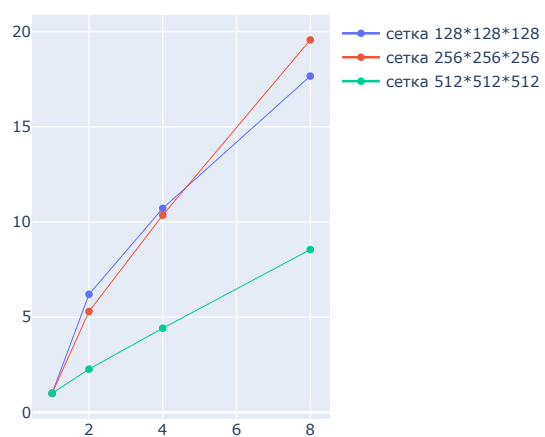


(a)  $L_x = L_y = L_z = 1$

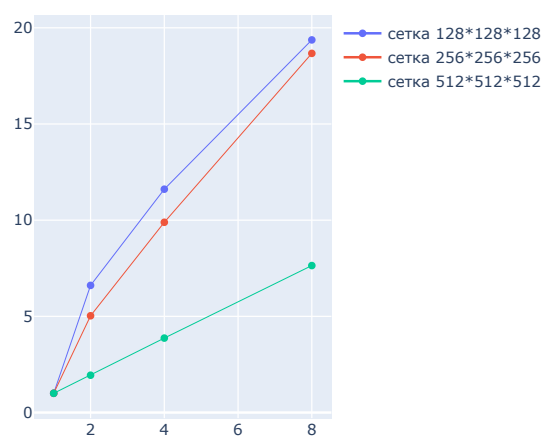


(b)  $L_x = L_y = L_z = \pi$

Рис. 4: График зависимости ускорения от числа процессов MPI, на различных сетках



(a)  $L_x = L_y = L_z = 1$



(b)  $L_x = L_y = L_z = \pi$

Рис. 5: График зависимости ускорения от числа процессов MPI, реализация MPI+OpenMP, на различных сетках